

## شکل دهنده پرتو مقاوم در برابر خطای شناسایی زاویه ورود سیگنال اخلاق همراه با کنترل سطح گلبرگ های فرعی

حبيب الله ذيبيحي<sup>۲</sup>

سید مهدی حسینی اندارگلی<sup>۱\*</sup>

دانشجوی کارشناسی ارشد دانشگاه امام حسین(ع) دانشیار دانشگاه صنعتی نوشیروانی بابل

(دریافت: ۱۴۰۰/۱۲/۲۴، پذیرش: ۱۴۰۰/۱۰/۱۰)

چکیده

یکی از راههای مقابله با اثر اخلاقگرهای داخل باند، استفاده از شکل دهنده پرتو در سیستم‌های چندآنتنی است. در این روش بر اساس اطلاعات زاویه ورود سیگنال هدف و سیگنال تداخل، سعی می‌شود تا پیک الگوی پرتو در راستای هدف قرار داده شده و یک نال در پرتو در راستای تداخل قرار داده شود. از آنجاکه عمق نال و محل آن وابسته به اطلاعات زاویه اخلاقگر است و در عمل امکان دستیابی به اطلاعات دقیق از سیستم پشتیبانی الکترونیکی وجود ندارد، در این مقاله یک روش شکل دهنده پرتو مقاوم در برابر خطای زاویه‌سنجدی اخلاقگر پیشنهاد شده است. همچنین کمینه کردن دریافتی از جهات خاص (زاویه ورود اخلاق) منجر به افزایش سطح گلبرگ های فرعی الگوی تشبعی خواهد شد. این موضوع در خیلی از سیستم‌های مخابراتی موجب کاهش کارایی سیستم خواهد شد. به همین منظور علاوه بر ملاحظات خطای زاویه ورود، سطح گلبرگ های فرعی در یک محدوده های خاص (مثل جهت تپه یا زمین) را کنترل می‌نماییم تا موجب افزایش قابل توجه این نوع اخلاقها نشود. در این مقاله بر اساس سه دیدگاه مختلف جهت کمینه کردن تداخل های دریافتی، سه مسئله برای بهینه‌سازی ضرایب شکل دهنده پرتو در گیرنده تعريف و می‌بینی بر بهینه‌سازی محدود حل می‌گردد. نتایج شبیه‌سازی‌ها نشان می‌دهد ضرایب بهینه شده توانسته‌اند مشکل خطدار بودن گزارش زاویه ورود اخلاقگر و دریافت تداخل از گلبرگ های فرعی را حل نمایند تا گیرنده بتواند به SINR در حد SNR دست یابد.

**کلیدواژه‌ها:** اخلاقگر، شکل دهنده پرتو، خطای زاویه‌سنجدی، سیگنال به نویز و تداخل، سامانه پشتیبانی الکترونیکی، گلبرگ فرعی.

## Beamforming Robust in Interferer Direction of Arrival Uncertainties with Side lobes Level Control

S.M.Hosseini Andargoli, H.A.Zabihi

Shariati s.t..Babol noshiravani university of tec, Babol, Iran, smh\_andargoli@nil.ac.ir

Faculty and Research Institute of Electrical Electronic and Cyber Warfare.Imam Hossein University, Tehran, Iran

,habibzabihi64@gmail.com

(Received: 2022/March/15; Accepted: 2022/September/01)

### Abstract

One of the ways to deal with the effect of jammers, especially intra-band jammers, is to use beamforming (BF) in multi-antenna systems. In this method, based on the DOA of desired signal and DOA of interference, it is tried to design peak of beam pattern in the direction of the desired source and null of pattern in the direction of interferer. Since the depth of null and its location depend on the direction of interferer and in practice, it is not possible to obtain accurate information from electronic support measure (ESM) system, in this paper, a beamforming method which is robust to DOA estimation error has been proposed. Furthermore, nulling the interferer's direction results in side lobes level increment. This can decrease communication systems performance. So, in addition to robust jammer nulling, the side lobe level of considered directions is controlled, too. In this paper, three BF weights optimization from three points of view are defined and solved analytically based on convex optimization framework. Simulation results show that proposed method is more efficient than previous and traditional methods. The proposed method keeps SINR in the order of SNR which can be obtained by DOA estimation error free methods.

**Keywords:** Jammer; Beamforming, DOA estimation error, Signal to Interference plus Noise Ratio, ESM, sidelobe.

سیگنال‌ها با وزن‌های مختلف و مناسب، به شکل پرتو مدنظر دست یافت. در واقع خروجی بخش طراحی شکل دهنده پرتو<sup>۷</sup>، وزن‌های ترکیب سیگنال‌ها است. شکل دهنده پرتو در واقع یک روش پردازشی است که مانند یک فیلتر فضایی عمل کرده و سیگنال‌های دریافتی در جهت‌های مشخصی (جهت‌های نزدیک به محل پیک پرتو) را تقویت و سیگنال‌های دریافتی در خارج از عرض پرتو را به طور نسبی تضعیف می‌نماید<sup>[۱]</sup>.

در سناریوهایی که وجود اخالگر عامل اصلی در کاهش کیفیت ارتباط است و با پردازش فرکانسی امکان مقابله با سیگنال اخال داخل باند وجود نداشته باشد، تنها روش، استفاده از فیلترینگ فضایی جهت کاهش دامنه سیگنال اخال دریافتی خواهد بود. در این حالت در سامانه‌های چند آنتن، سعی می‌شود پرتوی شکل گیرد که تضعیف شدیدی (نال پرتو) در جهت سیگنال اخالگر ایجاد کرده و در عین حال سیگنال دریافتی در جهت منبع سیگنال پیام (سیگنال مطلوب)<sup>۸</sup> را با حداکثر توان ممکن دریافت کند. دو روش کلی جهت تعیین وزن‌های شکل دهنده پرتو وجود دارد. روش مبتنی بر داده<sup>۹</sup> که در آن بر اساس ذخیره‌سازی سیگنال‌های دریافتی در آرایه و تخمین ماتریس کوواریانس<sup>۱۰</sup> سیگنال‌های دریافتی در آرایه و با فرض دانستن جهت سیگنال مطلوب، بردار شکل دهنده پرتو را محاسبه می‌نماید. یکی از اشکالات این روش افزایش پیچیدگی گیرنده جهت ذخیره‌سازی نمونه‌ها و محاسبات ماتریس کوواریانس است<sup>[۱۰]</sup>. در اکثر سامانه‌های نظامی و اغلب مخابراتی، سامانه‌های شنود مجهز به جهت‌باب نیز وجود دارند که می‌توانند جهت سیگنال مطلوب و سیگنال اخالگر را تعیین نمایند. در این حالت می‌توان از زاویه ورود سیگنال (DOA)<sup>۱۱</sup> مطلوب و زاویه ورود سیگنال اخال که توسط سامانه شنود استخراج شده‌اند، به عنوان ورودی بخش طراحی وزن‌های شکل دهنده پرتو استفاده کرد و از پیچیده‌شدن ساختار گیرنده مخابراتی برای تخمین ماتریس کوواریانس سیگنال‌ها خودداری کرد. در هصورت خطأ در تخمین زاویه ورود سیگنال اخال اجتناب‌ناپذیر است.

### ۱-۱. کارهای پیشین

در [۲] روشی ارائه شده است که بتواند جهت ورود سیگنال‌های طیف گسترده را در محیط چند مسیره با خطای معقول محاسبه نماید.

MVDR<sup>۱۲</sup> یک شکل دهنده پرتو مبتنی بر داده است که

### ۱. مقدمه

با گسترش فناوری‌های بی‌سیم، وجود اخالگرها<sup>۱</sup> که با ارسال سیگنال اخال موجب مسدود کردن ارتباطات شبکه‌های بی‌سیم می‌گردد، به یک مشکل مهم تحقیقاتی تبدیل شده است. مخصوصاً در کاربردهای نظامی که دشمن همواره سعی خواهد کرد با ایجاد اخال در ارتباط نیروها دست بالا را در عملیات داشته باشد. اخالگرها با کاهش نسبت سیگنال به نویز و تداخل در طرف گیرنده، موجب قطع ارتباطات یا کاهش کیفیت ارتباط موجود می‌گردند. به طور معمول سامانه‌های سنتی که امکان به-کارگیری چند آنتن را نداشته‌اند از پرشن فرکانسی برای مقابله با اخالگرها استفاده می‌کرده‌اند. با پیشرفت‌هایی که در سامانه‌های شنود پدید آمد، ردیابی پرش‌های فرکانسی کند توسط سامانه اخالگر به راحتی قابل انجام است و در عمل اخالگر باند فرکانسی خود را مناسب با تغییر باند سیگنال پیام تغییر خواهد داد و فرار از دست سیگنال اخال امکان‌پذیر نخواهد بود<sup>[۱]</sup>.

اخالگرها برای مقابله با سامانه‌های مخابراتی پیشرفت‌های مانند سامانه‌های طیف گسترده رشته مستقیم یا سامانه‌های طیف گسترده با پرشن فرکانسی تند، معمولاً از اخال باند پهن<sup>۲</sup> استفاده می‌نمایند که در نتیجه آن، بخشی از توان سیگنال اخال در پهنه‌ای باند سیگنال پیام دریافت خواهد شد. در این گونه سناریوها نمی‌توان با پردازش‌های فرکانسی از اخال داخل باند در امان ماند.

با توجه به پیشرفت‌هایی که در بخش آنتن، گیرنده جلویی<sup>۳</sup> و بخش پردازش حاصل شده، استفاده از سامانه‌های چند آنتن به شدت مورد توجه قرار گرفته است. در این گونه سامانه‌ها می‌توان یک‌شکل پرتو تطبیقی مناسب با سناریو و اهداف مدنظر داشت. شکل دهنده الگوی تشعشعی در آنتن‌های آرایه‌ای یکی از موضوعات مهمی است که با اهداف مختلفی ممکن است صورت پذیرد. در حالت متداول با هدف حداکثر کردن سیگنال به نویز پیام دریافتی سعی می‌شود تا پرتوی شکل گیرد که پیک آن در راستای فرستنده سیگنال پیام قرار گیرد. شکل دهنده پرتو آنالوگ که در آن با کنترل دامنه و فاز سیگنال RF<sup>۴</sup> پشت آنتن‌ها، سعی خواهد شد تا به شکل پرتو مدنظر دست یافت<sup>[۱]</sup>.

در شکل دهنده پرتو دیجیتال، بعد از نمونه‌برداری از سیگنال‌ها (IF<sup>۵</sup> یا باند پایه) سعی خواهد شد در پردازشگر با ترکیب

<sup>7</sup> beamformer

<sup>8</sup> signal of interest

<sup>9</sup> data dependent

<sup>10</sup> covariance matrix

<sup>11</sup> Direction of Arrival

<sup>12</sup> Minimum Variance Distortionless Response

<sup>1</sup> jammers

<sup>2</sup> Barrage Noise

<sup>3</sup> Front-end

<sup>4</sup> beamforming

<sup>5</sup> Radio Frequency

<sup>6</sup> Intermediate Frequency

گردد و همین موضوع باعث پهن شدن عمق نال در روش MVDR خواهد شد. یکی از اشکالات این روش این است که در مورد نحوه انتخاب زوایا حول گزارش، تعداد آنها، فواصل آنها و مهم‌تر از همه توان آنها و ارتباط آنها با آماره خطای زاویه‌سنجدی هیچ پیشنهادی ارائه نمی‌دهد.

در [۱۱] روش شکل دهی پرتو مقاوم بر اساس بهینه‌سازی محدب برای کنترل عدم تطبیق جهت سیگنال<sup>۴</sup> و گلبرگ‌های فرعی ارائه شده است. با حل مسئله بهینه‌سازی محدب<sup>۵</sup> و استفاده ازتابع هدف اصلاح شده، توان خروجی شکل دهنده پرتو را به حداقل می‌رساند. این روش عملکرد نسبی بهتری در مقایسه با MVDR و روش‌های بارگذاری قطری در کل منطقه گلبرگ-های فرعی دارد. به عبارتی عیب این روش آن است که اگر خطای زاویه‌سنجدی نداشته باشیم (در اثر حرکت منبع نویز و....) روش MVDR عملکرد بهتری دارد. البته در موضعی که تداخل بدون پیش‌بینی از گلبرگ‌های فرعی داشته باشیم این روش بهتر عمل می‌کند در حالی که در روش MVDR وقتی تداخل از گلبرگ‌های فرعی وارد نشده باشد سطح گلبرگ‌های فرعی بالا خواهد بود.

در [۱۳] سعی شده با ارائه الگوریتم جدید در تعیین زاویه ورود سیگنال‌ها، خطای زاویه‌سنجدی کاهش یابد و نوآوری مقاله روی بهبود الگوریتم MVDR نیست و تاکید بیشتر مقاله روی مقاومت روش‌های جهت‌یابی است.

در [۱۴] شکل دهی پرتو تطبیقی برای سرکوب گلبرگ‌های فرعی با قراردادن نال‌های الگوی تشبعی اضافی ارائه شده است. با استفاده از الگوریتم شکل دهی پرتو تطبیقی، علاوه بر اینکه گلبرگ اصلی را به سمت یک سیگنال مطلوب هدایت می‌کند، نال‌های الگوی تشبعی را به صورت تکراری به سمت سیگنال‌های تداخل مربوطه قرار می‌دهد و یک سطح گلبرگ فرعی<sup>۶</sup> مطلوب را فراهم می‌کند.

در [۱۵] طراحی و تحلیل معماری حذف کردن گلبرگ‌های فرعی (SLB)<sup>۷</sup> تطبیقی ارائه شده که با تداخل تکرارکننده همدوس<sup>۸</sup> در حضور سیگنال‌های اخلاق کننده پیوسته مقابله می‌کند و برای ترکیب وزن‌های شکل دهنده پرتو تاحدامکان قدرت تداخل را در خروجی کانال کمکی تولید شده توسط نویز حرارتی و اخلالگر پیوسته را کاهش دهد و محدودیت‌های پاسخ زاویه‌ای کانال کمکی SLB را برآورده می‌کند و با استفاده از

سعی می‌نماید واریانس خروجی پرتو را حداقل نماید در حالی که پاسخ شکل دهنده پرتو در راستای ورود سیگنال مطلوب برابر با یک باشد [۳]؛ اما کارایی این روش زمانی که سیگنال مطلوب در نمونه‌های استفاده شده تخمین ماتریس کوواریانس سیگنال تداخل حضور دارد و سیگنال مطلوب خیلی ضعیفتر از سیگنال تداخل نباشد کاهش می‌یابد. علاوه بر این، این روش خیلی حساس به خطای بردار هدایت<sup>۹</sup> سیگنال تداخل و سیگنال مطلوب است. خطای بردار هدایت می‌تواند ناشی از خطای در تخمین زاویه منبع تداخل یا منبع سیگنال مطلوب، حرکت منابع سیگنال، کالیبره نبودن آرایه، انعکاس از موائع و اعوجاج سیگنال باشد [۴].

در [۴] بحث مفصلی روی روش‌های مقاوم‌سازی الگوریتم MVDR شده است و کتاب مناسبی برای آشنایی با این موضوع تحقیقاتی است.

برای افزایش مقاومت روش MVDR، الگوریتم بارگذاری قطری<sup>۱۰</sup> در [۵] پیشنهاد شده است؛ اما مشکل این روش این است که فاکتوری که باید به عناصر روى قطر ماتریس اضافه شود معلوم نیست چگونه باید انتخاب شود. در [۶-۸] با استفاده از اضافه کردن قیدهای خطی سعی می‌شود تا عمق نال پهن گردد.

در [۹] با فرض اینکه خطای زاویه‌سنجدی دارای توزیع یکنواخت حول گزارش زاویه‌سنجدی<sup>۱۱</sup> است، الگوریتمی ارائه می‌دهد که سعی می‌کند با بهبود تخمین ماتریس کوواریانس و همزمان بکارگیری بارگذاری قطری، مقاومت شکل دهنده پرتو را در مقابل خطای زاویه‌سنجدی و خطای ناشی از منابع متحرك افزایش دهد. فرض توزیع یکنواخت برای خطای زاویه‌سنجدی ممکن است برای خطای ناشی از تحرک منبع منطقی به نظر بررسی اما برای خطای زاویه‌سنجدی ناشی از نویز حرارتی در جهت یاب منطقی نیست. علاوه بر این اشکالات مطرح شده برای بارگذاری قطری، برای این الگوریتم نیز وجود دارد.

در [۱۰] پیشنهاد شده است که برای بهدست آوردن ماتریس کوواریانس منبع تداخل، زاویه منبع تداخل به چندین زاویه حول گزارش زاویه‌سنجدی تعمیم داده شود و برای هر زاویه توانی متفاوت در نظر گرفته شود. سپس ماتریس کوواریانس بر اساس جمع ماتریس کوواریانس هر یک از زوایای در نظر گرفته شده به دست می‌آید و از این ماتریس در الگوریتم MVDR استفاده می‌شود. پخش کردن زوایا حول گزارش باعث خواهد شد تا ماتریس کوواریانس مشابه ماتریس کوواریانس چند منبع تداخل

<sup>1</sup> Streeng vector

<sup>2</sup> Diagonal Loading

<sup>3</sup> DOA estimation report

<sup>4</sup> Signal Direction Mismatch Control

<sup>5</sup> convex optimization

<sup>6</sup> modified objective function

<sup>7</sup> SideLobe Level

<sup>8</sup> SideLobe Blanking architectures

<sup>9</sup> Coherent Repeater Interference

شكل الگوی تشعشعی گیرنده مخابراتی با کنترل سطح گلبرگ-های فرعی<sup>۱</sup> از طریق شبیه‌سازی‌ها ارزیابی می‌شود. همواره کمینه‌کردن دریافتی از یک جهات خاص (زاویه ورود اخلاق) منجر به افزایش سطح گلبرگ‌های فرعی پترن تشعشعی خواهد شد. این موضوع در خیلی از سیستم‌های مخابراتی موجب کاهش کارایی سیستم خواهد شد. مثلاً در رادارها افزایش سطح گلبرگ-های فرعی موجب افزایش سطح سیگنال کلاتر خواهد شد که عملکرد رادار را تضعیف خواهد کرد. به همین منظور علاوه بر ملاحظات خطای زاویه ورود سیگنال اخلاق‌گر، در نظر داریم سطح گلبرگ‌های فرعی در یک محدوده‌های خاص (مثل جهت تپه یا زمین) را کنترل نماییم تا موجب افزایش قابل توجه این نوع اخلاقها نشود. در بخش<sup>۲</sup>، کارایی روش پیشنهادی بر حسب سیگنال به تداخل و نویز خروجی شکل‌دهنده پرتو و شکل الگوی تشعشعی گیرنده مخابراتی از طریق شبیه‌سازی‌ها ارزیابی می‌شود. در بخش<sup>۳</sup> نتایج بدست آمده جمع‌بندی خواهد شد.

## ۲. مدل سامانه

در شکل<sup>(۱)</sup> مدل سامانه مد نظر نمایش داده شده است. فرض می‌کنیم گیرنده شامل آرایه خطی یکنواخت با  $M$  آنتن همه‌جهته با فاصله  $d$  است. در اینجا  $d = \frac{\lambda}{2}$  فرض می‌شود که  $\lambda$  معرف طول موج سیگنال است. منبع انتشار سیگنال مطلوب با زاویه مشخص  $\theta_0$  نسبت به خط عمود بر صفحه آنتن و منبع اخلاق‌گر در زاویه  $\theta$  نسبت به خط عمود بر صفحه آرایه و  $\theta$  زاویه تداخل فرعی معرف زاویه‌ای است که یک کپی ناخواسته از سیگنال منبع مطلوب از آن جهت دریافت می‌گردد. مدارهای گیرنده جلویی با عملکرد ایده‌آل فرض می‌شوند که همه سیگنال‌ها در این مسیرها دارای توان و شیفت فاز یکسان می‌شوند که در واقعیت در مرحله واسنجی<sup>۴</sup>، یکسان‌سازی دامنه و فاز کانال‌ها به دقت تنظیم می‌شود. خروجی مدارات گیرنده جلویی، نمونه‌برداری شده و ادامه پردازش در پردازشگر دیجیتال انجام می‌شود. فرض می‌شود که زاویه منبع سیگنال مطلوب  $\theta_0$  بدون خطا در اختیار است و زاویه اخلاق‌گر نیز که در واقعیت  $\theta$  است با یک خطا توسط سامانه شنود (ESM)<sup>۵</sup> گزارش می‌شود. مقدار گزارش سامانه شنود را با  $R^\theta$  نمایش می‌دهیم. تداخل فرعی نیز فرض می‌شود که از راستاهایی در بازه زاویه‌ای معلوم مانند  $[\theta_{s-min}, \theta_{s-max}]$  دریافت می‌گردد. اغلب با توجه به اینکه سیگنال اخلاق‌گر از جنس نویز و تصادفی است ردگیری<sup>۶</sup>

فیلترهای فضایی متعدد افزایش عملکرد مطمئنی را ایجاد می‌کند.

با توجه به تصادفی بودن خطای گزارش زاویه‌سنجی سامانه شنود، جهت مقاوم‌سازی شکل‌دهی پرتو، حل مسئله حداقل‌سازی متوسط توان دریافتی اخلاق‌گر (متوسط آماری روی متغیر تصادفی زاویه ورود سیگنال اخلاق) پیشنهاد می‌گردد. از آنجاکه حداقل‌سازی متوسط توان تداخلی دریافتی، منجر به استفاده از متوسط آماری ماتریس کوواریانس اخلاق‌گر در محاسبات وزن‌های شکل‌دهی پرتو خواهد شد، در این مقاله یک چارچوب کلی جهت محاسبه متوسط ماتریس کوواریانس اخلاق‌گر و نحوه به کارگیری آن در محاسبه وزن‌های شکل‌دهی پرتو ارائه می‌گردد. در این چارچوب کلی با توجه به عدم وجود جواب بسته برای متوسط آماری ماتریس کوواریانس اخلاق‌گر یک روش ابتکاری و مبتنی بر تحلیل برای محاسبه تقریبی متوسط آماری پیشنهاد می‌گردد. بر اساس مدل خطای گزارش سامانه شنود، نحوه انتخاب یک دسته زاویه حول زاویه گزارش شده، تعداد آنها و فواصل آنها به روش تحلیلی ارائه می‌گردد. سپس با توجه به دسته زوایای انتخاب شده، نحوه محاسبه متوسط آماری به صورت ریاضی توضیح داده شده و نحوه به کارگیری آن در محاسبات وزن‌های شکل‌دهی پرتو ارائه می‌گردد. با فرض این‌که خطای زاویه‌سنجی سامانه شنود دارای توزیع نرمال با واریانس مشخص است، متوسط ماتریس کوواریانس اخلاق‌گر محاسبه شده و با به کارگیری آن در محاسبه ضرایب شکل‌دهی پرتو، عمق نال متناسب با احتمال وقوع خطای زاویه‌سنجی پهن خواهد شد و همین موضوع به بهبود مقاومت الگوریتم MVDR کمک خواهد کرد. موضوعی که در این مقاله ارائه شده یکی از نوآوری‌های موجود در عرصه فناوری اطلاعات و ارتباطات می‌باشد و سه روش پیشنهادی برای بهبود عملکرد آن را مطرح می‌نماییم.

در بخش<sup>۲</sup>، مدل یک سامانه مخابراتی چند آنتنی که از گزارش سامانه شنود برای طراحی شکل‌دهی پرتو استفاده می‌نماید و محاسبات مربوط به سیگنال به تداخل و نویز توضیح داده خواهد شد. در این بخش همچنین تأثیر خطدار بودن گزارش سامانه شنود بر روی روش‌های شکل‌دهی پرتو که اثر خطای زاویه ورود سیگنال اخلاق را در نظر نمی‌گیرند بررسی خواهد شد. چارچوب روش پیشنهادی جهت مقاوم‌سازی شکل‌دهی پرتو در برابر خطای گزارش سامانه شنود در بخش<sup>۳</sup> آورده شده است. در این بخش با تحلیل ریاضی مدل خطای سامانه شنود، روشی برای محاسبه میانگین ماتریس همبستگی سیگنال تداخل و نحوه استفاده از آن در محاسبات وزن‌های شکل‌دهی پرتو ارائه شده است. همچنین، کارایی روش پیشنهادی بر حسب سیگنال به تداخل و نویز خروجی شکل‌دهنده پرتو و

<sup>1</sup> Side lobes level control

<sup>2</sup> Calibration

<sup>3</sup> Electronic Support Measures

<sup>4</sup> tracking

$$\vec{x}(k) = \vec{a}(\theta_0)s_0(k) + \vec{a}(\theta_J)s_J(k) + \sum_{\theta_{s_i} \in [\theta_{s_{\min}}, \theta_{s_{\max}}]} \vec{a}(\theta_{s_i})s_i(k) + \vec{n}(k) \quad (2)$$

$s_0(k)$  بیانگر سیگنال مطلوب،  $s_J(k)$  سیگنال اخلاق و  $\vec{n}(k) \in C^{M \times 1}$  معروف بردار نویز گوسی دریافتی با میانگین صفر و ماتریس کوواریانس  $I_{M \times M}$  است که  $\sigma^2 = kTBN_f$  معروف واریانس یا توان سیگنال نویز دریافتی در هر آنتن است که  $k$  ثابت بولتمن،  $T$  دمای استاندارد نویز بر حسب کلوین،  $B$  پهنه‌ای باند گیرنده و  $N_f$  عدد گیرنده است.  $\vec{a}(\theta_0)$  و  $\vec{a}(\theta_J)$  به ترتیب بردار هدایت سیگنال مطلوب و بردار هدایت سیگنال اخلاق و بردار هدایت تداخل فرعی می‌باشند. بردار هدایت آرایه‌های خطی یکنواخت را می‌توان به صورت زیر مدل کرد که با فرض صفحه‌ای بودن موج استخراج شده است.

$$\vec{a}(\theta) = [1, \exp\{j\xi \sin(\theta)\}, \dots, \exp\{j(M-1)\xi \sin(\theta)\}]^T \quad (3)$$

که در آن،  $\frac{2\pi d}{\lambda} = \xi$  و  $\lambda$  معرف طول موج است. ماتریس کوواریانس بردار سیگنال دریافتی آرایه (با فرض مستقل بودن سیگنال مطلوب، سیگنال اخلاق و سیگنال نویز) به صورت ذیل به دست می‌آید [۱۰]:

$$R = E\{\vec{x}\vec{x}^H\} = R_d + R_{J+n} + R_s \quad (4)$$

که در آن،  $R_d$  ماتریس کوواریانس سیگنال مطلوب و با فرض توان دریافتی  $\sigma_0^2$  برای سیگنال مطلوب، برابر است با:

$$R_d = \sigma_0^2 \vec{a}(\theta_0) \vec{a}^H(\theta_0) \quad (5)$$

و  $R_{J+n}$  معرف ماتریس کوواریانس سیگنال اخلاق به علاوه نویز است که با توجه به مستقل بودن سیگنال اخلاق و نویز و با فرض صفر بودن  $dc$  آن‌ها برابر است با:

$$R_{J+n} = \sigma_J^2 \vec{a}(\theta_J) \vec{a}^H(\theta_J) + \sigma^2 I \quad (6)$$

که در آن،  $\sigma_J^2$  معرف توان دریافتی سیگنال اخلاق است. عبارت اول معرف ماتریس کوواریانس سیگنال اخلاق و عبارت دوم معرف ماتریس کوواریانس نویز است.  $R_s$  ماتریس کوواریانس تداخل فرعی برابر است با:

$$R_s = \sum_{\theta_{s_i} \in [\theta_{s_{\min}}, \theta_{s_{\max}}]} \vec{a}(\theta_{s_i}) s_i(k) \sum_{\theta_{s_j} \in [\theta_{s_{\min}}, \theta_{s_{\max}}]} \vec{a}^H(\theta_{s_j}) s_j^H(k)$$

زاویه‌ای آن توسط سامانه شنود دشوارتر و احتمال خطای گزارش زاویه و رود اخلاق لگر محتمل‌تر از گزارش زاویه و رود سیگنال مطلوب است. در این مقاله روی عامل نویز حرارتی در خطای اندازه‌گیری زاویه اخلاق لگر در سامانه شنود تمرکز شده است و از عوامل دیگر خطای صرف نظر شده است لذا منابع سیگنال ایستا فرض می‌شوند. در سامانه‌های عملی، ایستا فرض کردن منابع با توجه به سرعت مکانیکی حرکت منابع نسبت به سرعت الکترونیکی پردازش سامانه‌ها تا حدود زیادی منطقی است (کمتر از میلی‌ثانیه اندازه‌گیری زاویه و رود محبوبات وزن‌های سیگنال خیلی کم است). با توجه به زاویه و رود سیگنال مطلوب، زاویه و رود اخلاق لگر، بازه زاویه و رود تداخل فرعی، توان اخلاق لگر،  $\vec{w} \in C^{M \times 1}$  توان تداخل فرعی و توان سیگنال مطلوب، بردار  $\vec{w}$  می‌باشد. هر یک از درایه‌های بردار شکل دهی پرتو با نمونه‌های سیگنال دریافتی آنتن‌ها، خروجی شده و سپس حاصل جمع وزنی دریافتی آنتن‌ها، خروجی شکل دهندۀ پرتو را به عنوان فیلتر فضایی خطی خواهد ساخت. خروجی فیلتر فضایی، سیگنالی می‌باشد که ممکن است در ادامه بر روی آن پردازش زمان-فرکانس انجام گردد. در این مقاله بحث روی سیگنال خروجی فیلتر فضایی می‌باشد و هدف ما دستیابی به نسبت سیگنال به تداخل و نویز مناسب در این مرحله است. پارامترهای طول موج و فاصله إلمان‌ها به صورت دقیق مشخص می‌باشند و تنها گزارش زاویه و رود سیگنال اخلاق دقیق نبوده و دارای خطای می‌باشد. البته لازم به ذکر است دقت تخمین توان سیگنال مطلوب، سیگنال تداخل فرعی و سیگنال تداخل تأثیر زیادی در کارایی نخواهد داشت.

اگر  $\vec{x}(k) = [x_1(k), x_2(k), \dots, x_M(k)]^T \in C^{M \times 1}$  معرف بردار سیگنال باند پایه دریافتی آرایه و  $k$  شاخص زمانی باشد، خروجی شکل دهندۀ پرتو را می‌توان به صورت زیر نوشت:

$$y(k) = \vec{w}^H \vec{x}(k) \quad (1)$$

که در آن،  $\vec{w} = [w_1, w_2, \dots, w_M]^T \in C^{M \times 1}$  بردار شکل دهندۀ پرتو است که با توجه به الگوریتم شکل دهندۀ پرتو محاسبه می‌شود.

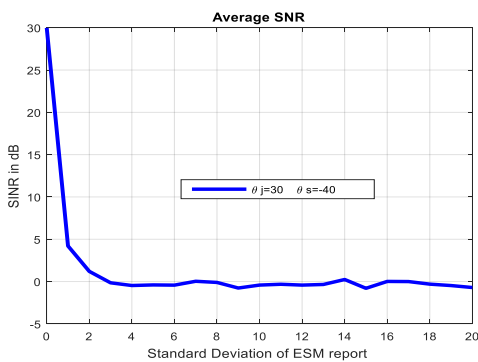
بردار سیگنال دریافتی را بر اساس بردار هدایت سیگنال مطلوب و بردار هدایت سیگنال تداخل می‌توان به صورت زیر نوشت:

در این حالت آماره‌های خطابسته به سیگنال به نویز شنودگر و عرض پرتو آتنن آن و روش پردازش آن قابل محاسبه است. این نوع خطای زاویه‌سنگی در هر بار گزارش سامانه شنود، یک متغیر تصادفی گوسی با میانگین صفر و واریانس معلوم است که از سامانه‌ای به سامانه دیگر متفاوت است؛ بنابراین، می‌توان گزارش سامانه شنود در مورد زاویه اخالگر را به صورت زیر مدل کرد:

$$\hat{\theta}_J = \theta_J + \theta_n \quad (11)$$

که در آن،  $\theta_n$  یک متغیر تصادفی گوسی میانگین صفر با واریانس  $\sigma_{\theta}^2$  است. حال می‌خواهیم اثر گزارش خطادار سامانه شنود در عملکرد شکل‌دهی پرتو MVDR را بررسی نماییم. برای این منظور یک منبع سیگنال مطلوب در راستای صفر درجه و یک منبع اخالگر در زاویه  $30^\circ$  درجه و زاویه تداخل فرعی را  $-40^\circ$  درجه با نسبت سیگنال به نویز  $\frac{\sigma_0^2}{\sigma^2}$ <sup>۲</sup> برابر با  $30$  dB و

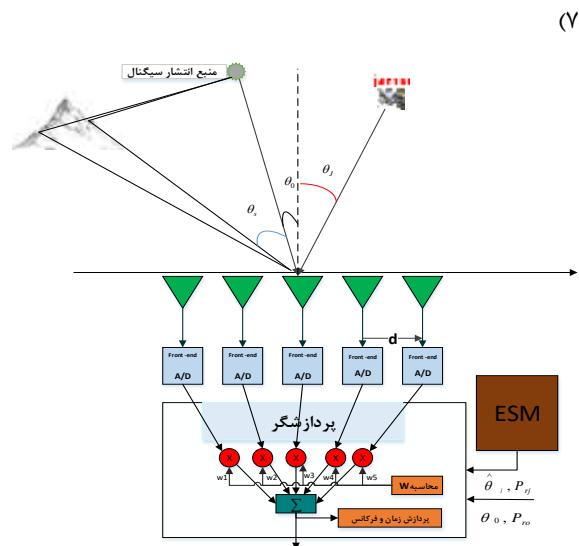
نسبت تداخل به نویز  $\frac{\sigma_J^2}{\sigma^2}$ <sup>۳</sup> برابر با  $70$  dB در نظر می‌گیریم. سپس به زاویه منبع اخالگر یک خطای تصادفی با توزیع نرمال که میانگین آن صفر و واریانس آن مشخص است اضافه می‌کنیم. با توجه به رابطه (۶) و بر اساس زاویه خطادار اخالگر، ماتریس کوواریانس سیگنال اخالگر به اضافه نویز محاسبه شده و همچنین با استفاده از ماتریس کوواریانس کوواریانس تداخل فرعی ( $R_s$ ) و جایگذاری آن در رابطه (۱۰) بردار شکل‌دهی پرتو MVDR بر اساس زاویه خطادار محاسبه می‌شود. با جایگذاری بردار شکل‌دهی پرتو در رابطه (۸) مقدار سیگنال به تداخل و نویز (SINR) به دست می‌آید و ذخیره می‌گردد. این کار به ازای  $100$  هزار بار تحقق تصادفی خطای گزارش زاویه سیگنال اخال تکرار شده و متوسط SINR در این  $100$  هزار بار رسم می‌گردد. این کار به ازای واریانس‌های مختلف خطای تخمین زاویه سیگنال اخال تکرار می‌گردد. متوسط SINR بر حسب انحراف معیار خطای گزارش،  $\sigma_{\theta}$ ، در شکل (۲) رسم شده است.



شکل (۲): نسبت سیگنال به نویز و تداخل خروجی شکل‌دهنده پرتو بر

<sup>۲</sup> Signal to noise Ratio

<sup>۳</sup> Interference to Noise Ratio



شکل (۱): ساختار گیرنده سامانه مخابراتی مبتنی بر شکل‌دهی پرتو بر اساس گزارش سامانه پشتیبانی الکترونیکی در این صورت، نسبت سیگنال به نویز و تداخل (SINR)<sup>۱</sup> بعد از شکل‌دهنده پرتو به صورت زیر به دست می‌آید.

$$SINR \stackrel{\Delta}{=} \frac{\vec{w}^H R_d \vec{w}}{\vec{w}^H R_{J+n+s} \vec{w}} = \frac{\sigma_0^2 |\vec{w}^H \vec{a}(\theta_0)|^2}{\vec{w}^H R_{J+n+s} \vec{w} + \vec{w}^H R_S \vec{w}} \quad (8)$$

با توجه به تعریف نسبت سیگنال به نویز و تداخل، حداقل سازی نسبت سیگنال به نویز و تداخل معادل حل مسئله بهینه‌سازی زیر است [۲]:

$$\vec{w}_{opt} = \arg \min_{\vec{w}} \vec{w}^H R \vec{w} \quad (9)$$

$$\vec{w}^H \vec{a}(\theta_0) = 1$$

قید  $\vec{w}^H \vec{a}(\theta_0) = 1$  تضمین می‌کند که جهت پیک الگوی تشبعی در راستای سیگنال مطلوب باشد. بردار شکل‌دهی پرتو بهینه بر اساس فرم بسته MVDR به صورت زیر به دست می‌آید [۳].

$$\vec{w}_{MVDR} = \frac{1}{\vec{a}^H(\theta_0) R^{-1} \vec{a}(\theta_0)} R^{-1} \vec{a}(\theta_0) \quad (10)$$

در صورتی که خطابی از گزارش زاویه اخالگر وجود نداشته باشد، با جایگزینی ماتریس کوواریانس در معادله (۱۰) جواب مسئله به دست آمده و سیگنال به نویز مناسبی ایجاد می‌نماید، ولی در واقعیت زاویه گزارش اخالگر تصادفی بوده و احتمال خطا وجود دارد. حال فرض کنیم که راستای واقعی اخالگر  $\hat{\theta}_J$  و گزارش سامانه شنود،  $\hat{\theta}_J$  باشد، اغلب یک بخش مهمی از منابع خطای زاویه‌سنگی سامانه‌های شنود، نویز حرارتی و تغییک‌پذیری محدود آنها است که وابسته به عرض پرتو آتنن شنودگر می‌باشد.

<sup>۱</sup> Signal to Interference plus Noise Ratio

می‌شود و از ماتریس کوواریانس داده دریافتی  $\hat{R}_x$  در رابطه (۹) استفاده می‌گردد.

$$\hat{R}_x = \frac{1}{K_s} \sum_{k=1}^{K_s} \vec{x}(k) \vec{x}^H(k) \quad (12)$$

در این رابطه،  $K_s$  معرف تعداد مشاهدات یا همان تعداد نمونه‌های زمانی<sup>۲</sup> است. با توجه به این‌که روش مبتنی بر داده از خود داده‌های دریافتی استفاده می‌کند و زاویه ورود واقعی سیگنال تداخل مستقیم در نمونه‌های دریافتی اثر می‌گذارد، در این روش مشکلات خطای سامانه شنود وجود ندارد؛ اما در عوض سخت‌افزار پیچیده‌تری جهت ذخیره‌سازی نمونه‌ها و محاسبه تخمین ماتریس کوواریانس داده نیاز است. علاوه بر این، وجود ماتریس کوواریانس سیگنال مطلوب در داخل ماتریس تخمینی در حالتی که سیگنال تداخل خیلی قوی‌تر از سیگنال مطلوب نباشد الگوریتم را دچار مشکل خواهد کرد.

### ۳. روش پیشنهادی با کنترل سطح گلبرگ‌های فرعی

در این روش همانند سناریو عملیاتی واقعی که معمولاً یک دستگاه کمکی مانند سیستم پشتیبانی الکترونیکی (ESM) در اختیار داریم، می‌توانیم از اطلاعات زاویه ورود سیگنال‌ها که از طرف ESM گزارش شده‌اند، برای بهینه‌سازی وزن‌های شکل‌دهی پرتو استفاده نماییم. همان‌طور که می‌دانیم در مورد اطلاعات ESM مانند زوایای اخلاق‌گرها خطا وجود دارد که این موضوع کمتر در طراحی شکل‌دهی پرتو مورد توجه قرار گرفته است. پس اطلاعاتی که از زاویه اخلاق‌گر وجود دارد دارای خطا بوده، همچنین مشخص است مقدار واقعی زاویه اخلاق‌گر حول همین زاویه می‌باشد که مقدار واقعی را یک متغیر تصادفی با توزیع معلوم در نظر می‌گیریم، حال با فرض اینکه این توزیع مشخص است یک شکل‌دهی پرتوی طراحی می‌کنیم که با وجود این خطا، بهترین نتیجه را در برداشته باشد. از طرف دیگر همواره کمینه‌کردن دریافتی از یک جهات خاص (زاویه ورود اخلاق)، منجر به افزایش سطح گلبرگ‌های فرعی پtern تشبعی خواهد شد. این موضوع در خیلی از سیستم‌های مخابراتی موجب کاهش کارایی سیستم خواهد شد. مثلاً در رادارها افزایش سطح گلبرگ‌های فرعی موجب افزایش سطح سیگنال کلاتر خواهد شد که عملکرد رادار را تضعیف خواهد کرد و یا در سیستم‌های مخابراتی دریافت انگاس سیگنال از جهت‌های مختلف که تحت عنوان چند مسیری شناخته می‌شود باعث فیدینگ یا اوجاج سیگنال خواهد شد. به همین منظور علاوه بر ملاحظات خطای زاویه ورود

### حسب انحراف معیار خطای گزارش ESM

همان‌طور که در شکل (۲) قابل مشاهده است، با افزایش انحراف معیار خطای زاویه‌سنجدی از ۰ به ۱ درجه، نسبت سیگنال به نویز و تداخل حدود dB ۲۵ افت پیدا خواهد کرد که عدد بسیار بزرگی است و در عمل خطای زاویه‌سنجدی سامانه شنود هم بیشتر از ۱ درجه است. افزایش انحراف معیار خطای زاویه‌سنجدی به ۴ درجه باعث افت نسبت سیگنال به نویز و تداخل حدود ۳۰dB خواهد شد. لذا در عمل، کارایی شکل‌دهی پرتو به روش MVDR خیلی حساس به خطای تخمین زاویه اخلاق‌گر است و در سناریوهای واقعی که خطای زاویه‌سنجدی اجتناب‌ناپذیر است نمی‌توان از آن استفاده نمود.

در مقالات مختلفی سعی در ارائه روش مقاوم در برابر خطای زاویه‌سنجدی شده است که در مرجع [۱۰] بعد از بررسی آنها، روش جدیدی پیشنهاد شده است و نشان داده شده که این روش نسبت به روش‌های قبلی بهتر عمل کرده و تا حدودی شکل‌دهی پرتو را مقاوم نموده است. در روش پیشنهادی [۱۰]، برای این‌که منطقه نال را گسترش دهند تا در صورت خطا دار بودن گزارش، همچنان زاویه واقعی منبع اخلاق‌گر در منطقه نال پنهان شده قرار گیرد پیشنهاد شده است که اطراف گزارش دریافتی محل اخلاق‌گر، چندین منبع اخلاق‌گر فرض شود. با اضافه کردن منابع اخلاق‌گر مجازی در زوایای اطراف گزارش، ماتریس همبستگی اخلاق‌گر که تاکنون فقط براساس زاویه گزارش شده سامانه شنود تشکیل داده می‌شد، تغییر خواهد کرد. این روش پیشنهادی باعث گسترش منطقه نال اطراف زاویه گزارش سامانه شنود خواهد شد به طوری که احتمال قرارگیری زاویه واقعی اخلاق‌گر در این منطقه بسیار افزایش می‌یابد. در این روش، در منطقه وسیع-تری از اطراف منبع مطلوب اگر اخلاق‌گر قرار گیرد نسبت سیگنال به نویز و تداخل تا حدودی افت پیدا خواهد کرد که این یکی از معایب روش‌های مقاوم در برابر خطای زاویه‌سنجدی است. یکی از اشکالات روش پیشنهادی در [۱۰] این است که توان اخلاق‌گرهای مجازی در اطراف گزارش سامانه شنود را یکسان در نظر می‌گیرد و هیچ طرحی در مورد نحوه انتخاب تعداد منابع اخلاق‌گر مجازی، فاصله زاویه‌ای آنها و وزن ترکیب ماتریس کوواریانس آن‌ها ارائه نمی‌دهد.

در روش مبتنی بر داده که در مرجع [۱۰] تحت عنوان الگوریتم<sup>۱</sup> SMI بررسی شده است، با استفاده از نمونه‌های سیگنال دریافتی آرایه، ماتریس کوواریانس سیگنال دریافتی که شامل ماتریس کوواریانس سیگنال مطلوب به اضافه ماتریس کوواریانس سیگنال تداخل به اضافه ماتریس کوواریانس نویز است تخمین زده

<sup>2</sup> Snapshot numbers

<sup>1</sup> Sample Matrix Inversion

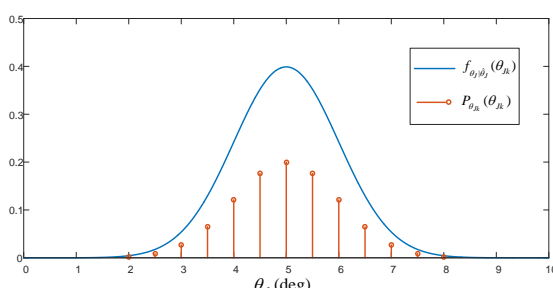
واقعی اخال در دسترس نبود به ناچار از  $R_{J+n} = \sigma^2 \vec{a}(\hat{\theta}_J) \vec{a}^H(\hat{\theta}_J) + \sigma^2 I$  استفاده می‌شده است)، تابع هدف  $\vec{w}^H E_{\theta_J \hat{\theta}_J} \{R_{J+n}\} \vec{w} = \vec{w}^H \bar{R}_{J+n} \vec{w}$  پیشنهاد می‌گردد که  $E\{\cdot\}$  معروف اپراتور امید ریاضی است. با تغییر تابع هدف در مسئله، لازم است در رابطه<sup>(۹)</sup> که جواب مسئله و نحوه تعیین وزن‌های شکل‌دهی پرتو است به جای  $R_{J+n}$  از  $E_{\theta_J \hat{\theta}_J} \{R_{J+n}\}$  استفاده شود. برای محاسبه امید ریاضی ماتریس کوواریانس سیگنال اخال داریم:

$$\begin{aligned} \bar{R}_J &= E_{\theta_J \hat{\theta}_J} \{R_J\} \\ &= \int R_J(\theta_J) f_{\theta_J \hat{\theta}_J}(\theta_J | \hat{\theta}_J) d\theta_J \end{aligned} \quad (15)$$

اگر درایه‌های ماتریس  $R_J(\theta_J)$  را در نظر بگیریم درایه سطر  $i$  ام و ستون  $k$ ام عبارتی به صورت  $\exp(j(i-k)\zeta \sin(\theta_J))$  خواهد بود که برای محاسبه امید ریاضی ماتریس کوواریانس، باید از اینگونه عبارتها روی تابع چگالی احتمال شرطی  $\theta_J$ ،  $f_{\theta_J \hat{\theta}_J}(\theta_J)$  امید ریاضی گرفته شود.

$$\begin{aligned} E\{\exp(jl\zeta \sin(\theta_J))\} &= \int_{-\infty}^{\infty} e^{jl\zeta \sin(\theta_J)} f_{\theta_J \hat{\theta}_J}(\theta_J) d\theta_J \\ &= \int_{-\infty}^{\infty} e^{jl\zeta \sin(\theta_J)} \frac{1}{\sqrt{2\pi\sigma_{\theta_J}^2}} e^{-\frac{(\theta_J - \hat{\theta}_J)^2}{2\sigma_{\theta_J}^2}} d\theta_J \end{aligned} \quad (16)$$

مطابق جستجوهایی که انجام دادیم این انتگرال جواب به فرم بسته ندارد و باید از طریق روش‌های عددی که عملیات نسبتاً پیچیده‌ای است محاسبه شود. در عمل که گزارش‌های سامانه شنود دائمًا با یک ثابت زمانی مشخصی در حال تغییر هستند، محاسبه سریع این انتگرال نیاز به سختافزار پیچیده‌ای دارد. لذا به جای محاسبه انتگرال، امید ریاضی را می‌توان بصورت گسسته و براساس طرح پیشنهادی زیر اجرا کرد. در طرح پیشنهادی به جای تابع چگالی گوسی که در آن  $\theta_J$  از  $-\infty$  تا  $+\infty$  احتمال رخ دادن دارد، یک تابع جرم احتمال گسسته به-ازای  $K+1$  مقدار از  $\theta_J$  در اطراف  $\hat{\theta}_J$  در نظر می‌گیریم اما مقدار تابع جرم احتمال گسسته در هر یک از مقادیر  $\theta_J$  که احتمال رخ دادن دارند متناسب با مقدار همان تابع چگالی احتمال گوسی نقطه مورد نظر انتخاب می‌شود.



سیگنال اخال‌گر، در نظر داریم سطح گلبرگ‌های فرعی در یک محدوده‌های خاص (مثل جهت یک تپه یا زمین) را کنترل نماییم تا سطح این نوع اخال‌ها نیز مدیریت شود. اگر فرض نماییم که زاویه منبع سیگنال مطلوب و راستاهای تداخل فرعی وجود دارد ESM (معمولًا ESM اطلاعات سیگنال‌های دشمن را در اختیار قرار می‌دهد و اطلاعات سیگنال مطلوب را خود گیرنده بادقت با خطا توسط فراهم شده باشد در این صورت وزن‌های شکل‌دهنده پرتو بر اساس حل مسئله بهینه‌سازی حداکثرسازی نسبت سیگنال به نویز و تداخل، به دست می‌آید.

### ۱-۳. کمینه‌سازی مجموع جمینگ و تداخل گلبرگ<sup>۱</sup>

SINR که قبلاً مطرح کردیم به دنبال بیشینه کردن هستیم که از رابطه ذیل به دست می‌آید.

$$SINR \stackrel{\Delta}{=} \frac{\vec{w}^H R_d \vec{w}}{\vec{w}^H R_{J+n+S} \vec{w}} = \frac{\sigma_0^2 |\vec{w}^H a(\theta_0)|^2}{\vec{w}^H \bar{R}_{J+n+S} \vec{w}} = \frac{\sigma_0^2 |\vec{w}^H a(\theta_0)|^2}{\vec{w}^H \bar{R}_{J+n} \vec{w} + \sum_k \sigma_s^2 |\vec{w}^H a(\theta_s)|^2} \quad (13)$$

قبل از تشریح مسئله بالا، ابتدا با تحلیل ریاضی یکی از عامل کاهش کارایی که همان خطای تخمین زاویه ورود سیگنال اخال در سامانه شنود است، چارچوبی ریاضی برای مقاومسازی شکل‌دهی پرتو در سامانه مخابراتی ارائه خواهیم داد.

از آنجاکه مدل خطای گزارش زاویه‌سنجی سامانه شنود بر اساس تابع چگالی احتمال گوسی با واریانس مشخص (بر اساس مشخصات سامانه شنود) است لذا داریم:

$$\hat{\theta}_J = \theta_J + \theta_n \Rightarrow \theta_J = \hat{\theta}_J - \theta_n \quad (14)$$

در این صورت به ازای  $\hat{\theta}_J$  گزارش شده و معلوم، تابع چگالی احتمال  $\theta_J$  یک تابع چگالی احتمال گوسی با میانگین  $\hat{\theta}_J$  و واریانس  $\sigma_{\theta_J}^2$  خواهد بود.

حال برای مقاومسازی در برابر خطای تخمین سامانه شنود، در مسئله MVDR یا همان مسئله کاهش سطح سیگنال تداخل و نویز در خروجی شکل‌دهنده پرتو به جای تابع هدف  $\vec{w}^H R_{J+n} \vec{w}$  (که این تابع هدف به دلیل نداشتن زاویه واقعی اخال‌گر در دسترس نیست و در روش MVDR وقتیکه زاویه

<sup>1</sup> Minimum Jamming and Side lobe Interference

$$\vec{w}_{proposed} = \frac{1}{\vec{a}^H(\theta_0)(\bar{R}_{J+n} + R_s)} \bar{a}(\theta_0) \quad (24)$$

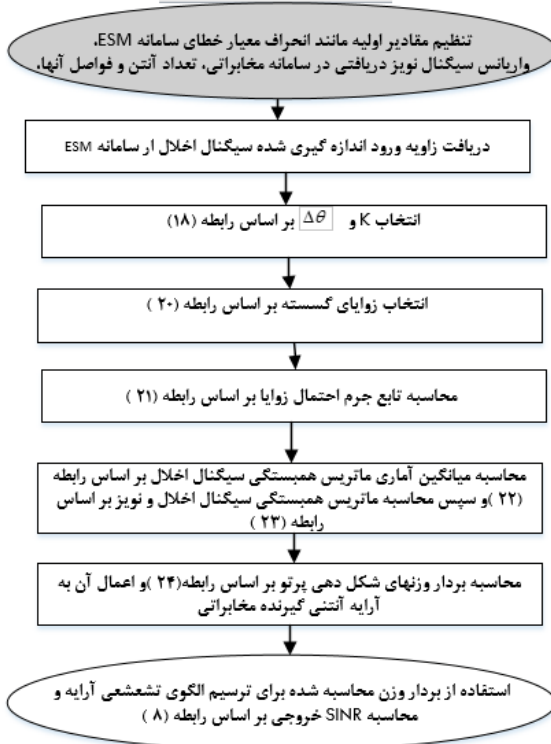
وقتی که سامانه شنود وجود چندین منبع اخلالگر داخل باند ( $N_J$  منبع اخلالگر) را گزارش نماید، به راحتی می‌توان الگوریتم پیشنهادی را به شکل زیر تعمیم داد. برای منبع اخلال  $i$  ام مشابه روش پیشنهادی بالا امید ریاضی ماتریس کوواریانس محاسبه می‌گردد.

$$\begin{aligned} \bar{R}_{Ji}(\hat{\theta}_{Ji}) &= \sum_{k=-\frac{K}{2}}^{\frac{K}{2}} P_{\theta_{Ji,k}}(\theta_{Ji,k}) R_J(\theta_{Ji,k}) \\ &= \sum_{k=-\frac{K}{2}}^{\frac{K}{2}} P_{\theta_{Ji,k}}(\theta_{Ji,k}) \sigma_{J,i}^2 \bar{a}(\theta_{Ji,k}) \bar{a}^H(\theta_{Ji,k}) \end{aligned} \quad (25)$$

و سپس  $\bar{R}_J$  مورد نیاز در روش پیشنهادی (برای رابطه (۲۲)) را می‌توانیم به صورت زیر محاسبه نماییم.

$$\bar{R}_J = \sum_{i=1}^{N_J} \bar{R}_{Ji}(\hat{\theta}_{Ji}) \quad (26)$$

مجموعه اقداماتی که برای شکل دهی پرتو در روش پیشنهادی انجام خواهد شد در شکل (۴) نمایش داده شده است.



شکل (۴): بلوك دیاگرام روش پیشنهادی برای شکل دهی پرتو گیرنده مخابراتی

شکل (۳): تابع چگالی احتمال خطای زاویه‌سنگی گزارش سامانه شنود و تابع جرم احتمال پیشنهادی گوسی می‌توان زوایای گسسته را در

محدوده  $\hat{\theta}_J - 3\sigma_\theta \leq \theta_J \leq \hat{\theta}_J + 3\sigma_\theta$  در نظر گرفت زیرا:

$$\begin{aligned} P(\hat{\theta}_J - 3\sigma_\theta \leq \theta_J \leq \hat{\theta}_J + 3\sigma_\theta) \\ = 1 - 2Q(3) \equiv 0.99 \end{aligned} \quad (17)$$

تعداد زوایای گسسته  $K+1$  را می‌توان به گونه‌ای در نظر گرفت که:

$$\Delta\theta = \frac{6\sigma_\theta}{K} \ll \Delta\theta_{min} \quad (18)$$

که در این رابطه،  $\Delta\theta_{min}$  معرف عرض پرتو آرایه بوده و وابسته به ، تعداد إلمان و فاصله بین إلمان‌ها  $d$  است. از طرفی عرض پرتو نیز از رابطه ذیل به دست می‌آید [۱۲].

$$\Delta\theta_{min} = \frac{2}{d} \cdot \frac{\lambda}{M} \quad (19)$$

در این صورت زوایای گسسته به شکل زیر انتخاب می‌شوند.

$$\theta_{jk} = \hat{\theta}_J + k \cdot \Delta\theta, \quad k = -\frac{K}{2}, \dots, \frac{K}{2} \quad (20)$$

بعد از انتخاب زوایای گسسته، مقدار تابع جرم احتمال گسسته در هر زاویه به صورت زیر محاسبه می‌شود.

$$P_{\theta_R}(\theta_{jk}) = \frac{f_{\theta_j|\hat{\theta}_j}(\theta_{jk})}{\sum_{k=-\frac{K}{2}}^{\frac{K}{2}} f_{\theta_j|\hat{\theta}_j}(\theta_{jk})} \quad k = -\frac{K}{2}, \dots, \frac{K}{2} \quad (21)$$

در رابطه فوق،  $f_{\theta_j|\hat{\theta}_j}(\theta_{jk})$  همان تابع چگالی احتمال گوسی با میانگین  $\hat{\theta}_J$  و واریانس  $\sigma_\theta^2$  است. سپس امید ریاضی ماتریس همبستگی تداخل به صورت زیر محاسبه می‌شود:

$$\begin{aligned} \bar{R}_J(\hat{\theta}_J) &= \sum_{k=-\frac{K}{2}}^{\frac{K}{2}} P_{\theta_{jk}}(\theta_{jk}) R_J(\theta_{jk}) \\ &= \sum_{k=-\frac{K}{2}}^{\frac{K}{2}} P_{\theta_{jk}}(\theta_{jk}) \sigma_{J,i}^2 \bar{a}(\theta_{jk}) \bar{a}^H(\theta_{jk}) \end{aligned} \quad (22)$$

بعد از محاسبه امید ریاضی ماتریس همبستگی تداخل، ماتریس همبستگی تداخل و نویز به صورت زیر به دست می‌آید:

$$\bar{R}_{J+n} = \bar{R}_J(\hat{\theta}_J) + \sigma^2 I \quad (23)$$

سپس براساس رابطه (۱۰) و با جایگذاری  $\bar{R}_{J+n}$  به جای  $R_{J+n}$  بردار بهینه شکل دهی پرتو محاسبه می‌شود.

(۳۱)

برای برآورده‌سازی قیود مسئله، کافی است مقادیر  $\lambda$  و  $\xi_i$ ‌ها در دستگاه معادلات ذیل صدق نمایند:

$$\begin{aligned} w^H \vec{a}(\theta_0) &= -\frac{1}{2} (\lambda \vec{a}^H(\theta_0) + \sum_k \xi_i \vec{a}^H(\theta_{s_i})) \bar{R}_{J+n}^{-1} \vec{a}(\theta_0) = 1 \\ w^H \vec{a}(\theta_{s_i}) &= -\frac{1}{2} (\lambda \vec{a}^H(\theta_0) + \sum_i \xi_i \vec{a}^H(\theta_{s_i})) \bar{R}_{J+n}^{-1} \vec{a}(\theta_{s_i}) = 0 \end{aligned}$$

معادلات (۳۲) بیانگر یک دستگاه معادلات خطی  $L+1$  مجهول می‌باشد، به عبارتی یک مجهول  $\lambda$  و  $L+1$   $\xi_i$ ‌ها می‌باشند. در صورتیکه معادلات را بر حسب ضرایب مجموعات و معلومات مرتب نماییم میتوانیم دستگاه معادلات خطی را به شکل ماتریسی (۳۳) بیان نماییم. برای حل دستگاه معادلات خطی (۳۳) می‌توان از روش معکوس ماتریس ضرایب استفاده نمود.

$$\begin{bmatrix} \vec{a}(\theta_0)^H \bar{R}_{J+n}^{-1} \vec{a}(\theta_0) & \vec{a}^H(\theta_{s_i}) \bar{R}_{J+n}^{-1} \vec{a}(\theta_0) & \dots \\ \vec{a}^H(\theta_0) \bar{R}_{J+n}^{-1} \vec{a}(\theta_{s_i}) & \vec{a}^H(\theta_{s_i}) \bar{R}_{J+n}^{-1} \vec{a}(\theta_{s_i}) & \dots \\ \vdots & \ddots & \vdots \\ \vec{a}^H(\theta_0) \bar{R}_{J+n}^{-1} \vec{a}(\theta_{s_L}) & \vec{a}^H(\theta_{s_L}) \bar{R}_{J+n}^{-1} \vec{a}(\theta_{s_L}) & \dots \end{bmatrix} \times \begin{bmatrix} \lambda \\ \xi_1 \\ \vdots \\ \xi_L \end{bmatrix} = \begin{bmatrix} 1 \\ 0 \\ \vdots \\ 0 \end{bmatrix}$$
(۳۳)

پس از بدست آوردن مجهول‌ها که همان ضرایب لاغرانژ هستند، می‌توان ضریب وزنی شکل‌دهی پرتو را از فرمول اصلی (۳۱) به دست آورد.

### ۳-۳. کمینه‌سازی تداخل فرعی و نال کردن جمینگ با وجود خطای زاویه‌سننجی<sup>۲</sup> (MSINJ) ESM

در این حالت برای بیشینه‌کردن SINR خروجی، توان تداخل دریافتی از زوایای مربوط به تداخل فرعی را کمینه می‌نماییم و سعی می‌کنیم شکل‌دهی پرتو را به گونه‌ای انجام دهیم که نال پرتو در راستای تداخل دریافتی از اخلاقگر و نویز باشد که معادل مسئله بهینه‌سازی مقید زیر می‌باشد. برای این کار می‌توان مسئله بهینه‌سازی را براساس کمینه‌کردن  $\bar{w}^H \bar{R}_S \bar{w}$  و صفر کردن  $\bar{w}^H \bar{R}_{J+n} \bar{w}$  از طریق قیود ذیل تعریف نمود:

$$\begin{aligned} \bar{w}_{opt} &= \arg \min_{\bar{w}} \quad \bar{w}^H \bar{R}_S \bar{w} \\ \bar{w}^H \vec{a}(\theta_0) &= 1 \\ \bar{w}^H \vec{a}(\theta_{J_K}) &= 0, \quad k = 1, \dots, L \end{aligned}$$
(۳۴)

### ۲-۳. کمینه‌سازی جمینگ و نال کردن تداخل فرعی با وجود خطای زاویه‌سننجی<sup>۱</sup> (MJNSI) ESM

در این حالت برعکس روش MJSI برای بیشینه‌کردن SINR خروجی، مجموع تداخل اخلاقگر و نویز را کمینه می‌نماییم و سعی می‌کنیم شکل‌دهی پرتو را به گونه‌ای انجام دهیم که نال پرتو در راستای زوایای مربوط به تداخل فرعی باشد که معادل مسئله بهینه‌سازی مقید زیر و اعمال قید لازم جهت کنترل گلبرگ‌های فرعی می‌باشد.

$$\begin{aligned} \bar{w}_{opt} &= \arg \min_{\bar{w}} \quad \bar{w}^H \bar{R}_{J+n} \bar{w} \\ \bar{w}^H \vec{a}(\theta_0) &= 1 \\ \bar{w}^H \vec{a}(\theta_{s_i}) &= 0, \quad i = 1, \dots, L \end{aligned}$$
(۲۷)

(۲۷) بردار هدایت زوایای تداخل فرعی و به تعداد  $L$  زاویه در بازه  $[\theta_{s-min}, \theta_{s-max}]$  می‌باشد که مقدار  $L$  به گونه‌ای انتخاب می‌شود که رابطه (۲۸) برقرار گردد:

$$(28) \frac{\theta_{s-max} - \theta_{s-min}}{L} \ll \Delta \theta_{min}$$

جهت کنترل سطح گلبرگ‌های فرعی و جلوگیری از تخریب سیگнал دریافتی لازم است مسئله بهینه‌سازی (۲۷) را تحلیل نماییم.

مسئله بهینه‌سازی (۲۷) را می‌توان در فرم بسته با استفاده از روش لاغرانژ حل کرد. برای مسئله تابع لاغرانژ به صورت زیر تعریف می‌شود:

$$L(w, \lambda, \{\xi_i\}) = w^H \bar{R}_{J+n} w + \lambda (w^H \vec{a}(\theta_0) - 1) + \sum_{i=1}^L \xi_i w^H \vec{a}(\theta_{s_i})$$
(۲۹)

که ضریب لاغرانژ متناسب با قید اول مسئله و  $\xi_i$ ‌ها ضرایب لاغرانژ مربوط به قیود سطح گلبرگ‌های فرعی است، با صفر قراردادن گرادیان لاغرانژ و اعمال شرایط KKT داریم [۱۱].

$$\nabla_w L(w, \lambda, \{\xi_i\}) = 2 \bar{R}_{J+n} w + \lambda \vec{a}(\theta_0) + \sum_i \xi_i \vec{a}(\theta_{s_i}) = 0$$
(۳۰)

که می‌توان آن را به صورت زیر بازنویسی کرد:

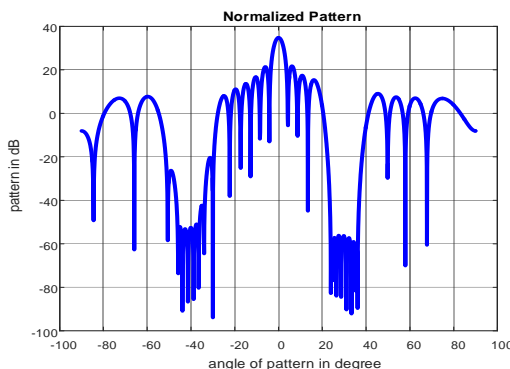
$$w = -\frac{1}{2} \bar{R}_{J+n}^{-1} (\lambda \vec{a}(\theta_0) + \sum_k \xi_k \vec{a}(\theta_{s_k}))$$

<sup>۱</sup> Minimum Jamming and Nulling Side lobe Interference

<sup>۲</sup> Minimum Side lobe Interference and Nulling Jamming

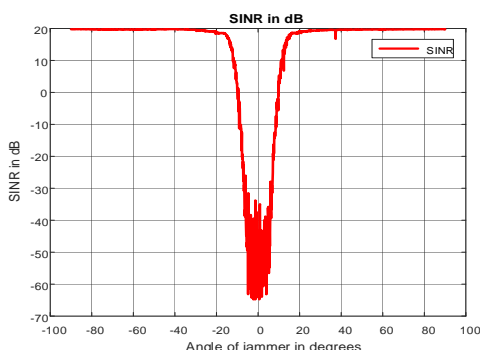
که در این شبیه‌سازی  $\Delta\theta = 1$  درجه و  $k$  اعداد صحیح از ۶-تا ۶ انتخاب شده است.

سپس هر یک از روش‌های پیشنهادی بردار شکل دهی پرتو گیرنده را بر اساس چارچوب تعریف شده برای آن روش محاسبه می‌نماید. سپس الگوی تشعشعی بردار شکل دهی پرتو محاسبه شده و متوسط نسبت سیگنال به مجموع تداخل هر یک از روش‌ها بر حسب محل اخلالگر رسم می‌گردد. برای محاسبه متوسط نسبت سیگنال به مجموع تداخل از متوسط‌گیری روی ۱۰۰۰ بار تحقق تصادفی گزارش ESM استفاده شده است. در شکل (۵) الگوی تشعشعی شکل دهنده پرتو روش MJSI بر حسب زوایای مختلف نمایش داده شده است.



شکل (۵): الگوی تشعشعی روش MJSI بر حسب زوایای مختلف

همان‌طور که در شکل (۵) می‌توان مشاهده کرد نال در جهت اخلالگر مناسب بوده و همچنین سطح گلبرگ‌های فرعی تحت کنترل و پایین بوده و شرایط مطلوبی را ایجاد کرده است. در شکل (۶) متوسط SINR از متوسط‌گیری روی ۱۰۰۰ بار تحقق تصادفی گزارش ESM به ازای هر زاویه اخلالگر به دست آمده است.



شکل (۶): خروجی SINR روش MJSI بر حسب زاویه اخلالگر

برای محاسبه ماتریس کوواریانس تداخل فرعی می‌توان مشابه تخمین ماتریس کوواریانس سیگنال اخلال به علاوه نویز عملکرد.

$$\bar{R}_S = \sum_{i=1}^q \sigma_i^2 \bar{a}(\theta_{S_i}) \bar{a}^H(\theta_{S_i}) + \sigma^2 I \quad (35)$$

$$\hat{\theta}_J - 3\sigma_\theta \leq \theta_J \leq \hat{\theta}_J + 3\sigma_\theta$$

$$\theta_{JK} = \hat{\theta}_J - 3\sigma_\theta + (K-1) \frac{6\sigma(\theta)}{L}$$

$\bar{R}_S$  ماتریس کوواریانس تداخل فرعی می‌باشد. می‌توان برای حل مسئله، همانند راحل مسئله بهینه‌سازی (۲۷) بقیه موارد را به طور مشابه با آن به کاربرد.

#### ۴. نتایج شبیه‌سازی

برای ارزیابی عملکرد روش‌های پیشنهادی و کارایی آنها در کاهش اثر اخلالگر و تداخل فرعی از شبیه‌سازی کامپیوتری استفاده شده است. یک آرایه خطی با  $30$  ایمان که فاصله بین ایمان‌ها  $\frac{\lambda}{2}$  و نسبت سیگنال به نویز  $SNR = 20dB$  و نسبت تداخل فرعی به تداخل به سیگنال  $^1jSR = \frac{\sigma_j^2}{\sigma_0^2} = 50dB$  و نسبت تداخل فرعی به نویز  $^2CNR = \frac{\sigma_c^2}{\sigma^2} = 70dB$  است.

یک منبع سیگنال مطلوب در زاویه صفر درجه و یک اخلالگر در زاویه  $30$  درجه فرض می‌شوند و زوایای تداخل فرعی در محدوده  $-34$ - $-46$  درجه می‌باشد. فرض که زاویه اخلالگر از طریق یک سامانه ESM با خطای مبتنی بر مدل تصادفی گوسی میانگین صفر و با انحراف معیار  $2$  درجه در اختیار است.

از طرفی فرض می‌کنیم که می‌خواهیم یک منطقه  $12$  درجه‌ای حول  $\hat{\theta}_s$  را به عنوان محل مهم گلبرگ‌های فرعی کنترل نماییم. حال  $\theta_{s_k}$  و  $\theta_{s_k}$  را براساس رابطه ذیل بیان می‌نماییم:

$$\theta_{s_k} = \hat{\theta}_s + k\Delta\theta \quad (36)$$

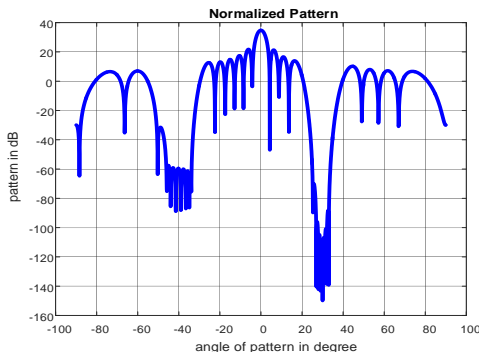
$$\theta_{J_k} = \hat{\theta}_J + k\Delta\theta$$

<sup>1</sup> Interference to Signal Ratio

<sup>2</sup> Clutter -to Noise ratio

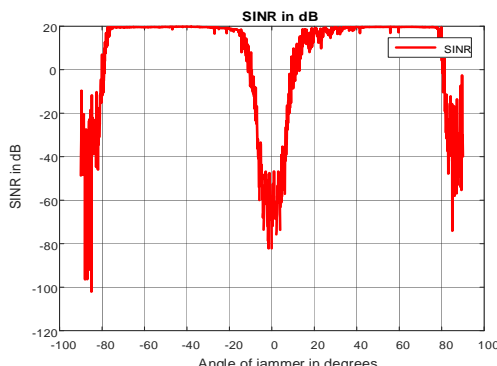
شکل (۸) مقدار سیگنال به نویز و تداخل بعد از شکل دهنده پرتو را بحسب محل منبع اخلالگر نمایش می‌دهد. همانطور که مشاهده می‌شود به ازای زوایای بیشتر از  $40^\circ$  درجه و کمتر از  $-40^\circ$  درجه از محل منبع مطلوب، SINR تقریباً برابر SNR شده است و وقتی موقعیت اخلالگر به موقعیت منبع مطلوب از نظر زوایای نزدیک می‌گردد SINR تا حدود  $-65\text{dB}$  افت پیدا خواهد کرد.

الگوی تشعشعی شکل دهنده پرتو روش MSINJ بحسب زوایای مختلف در شکل (۹) نمایش داده شده است.



شکل (۹): الگوی تشعشعی روش MSINJ بحسب زوایای مختلف

همان‌طور که در شکل می‌توان مشاهده کرد نال خوبی در  $30^\circ$  درجه وجود دارد همچنین سطح گلبرگ‌های فرعی پایین بود و شرایط مطلوبی را ایجاد کرده است. برای به دست آوردن خروجی SINR در این روش و مقایسه آن با روش‌های دیگر زاویه منبع اخلالگر را از  $-90^\circ$  درجه تا  $90^\circ$  درجه در نظر می‌گیریم و خروجی آن به به دست می‌آوریم.

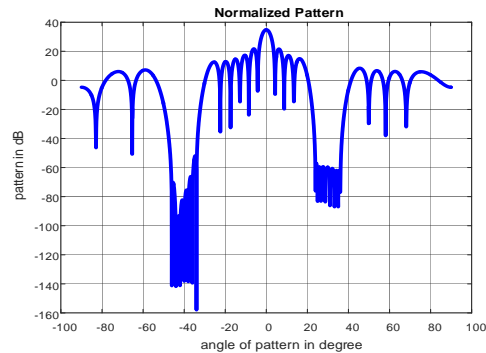


شکل (۱۰): خروجی روش MSINJ بحسب زوایای اخلالگر

شکل (۱۰) مقدار سیگنال به نویز و تداخل بعد از شکل دهنده پرتو را بحسب محل منبع اخلالگر نمایش می‌دهد. همانطور که مشاهده می‌شود به ازای زوایای بیشتر از  $40^\circ$  درجه و کمتر از

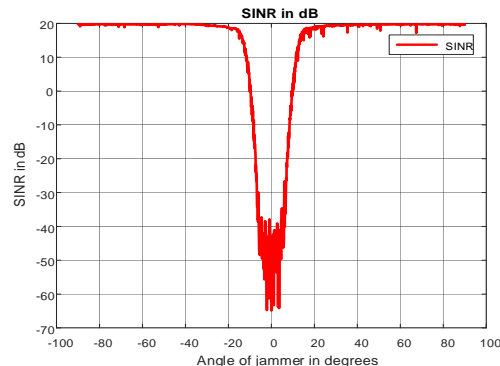
همان‌طور که در شکل (۶) می‌توان مشاهده کرد SINR خروجی شرایط مطلوبی را ایجاد کرده است و در نقاطی که اخلالگر و SNR فاصله زوایه‌ای کافی دارند SINR خروجی در حد بوده، همچنین وقتی موقعیت اخلالگر به موقعیت منبع مطلوب از نظر زوایای نزدیک می‌گردد SINR تا حدود  $-65\text{dB}$  افت پیدا خواهد کرد.

برای ارزیابی روش MJNSI یک آرایه مشابه روش MJSI و با زوایای تداخل فرعی در بازه  $[-46^\circ, -36^\circ]$  درجه در نظر می‌گیریم. با فرض اینکه زاویه اخلالگر از طریق یک سامانه ESM با خطای مبتنی بر مدل تصادفی گوسی میانگین صفر و با انحراف معیار ۲ درجه در اختیار است، در این شبیه‌سازی  $\Delta\theta = 1^\circ$  درجه و  $k = 6$  اعداد صحیح از  $6$  تا  $6$  انتخاب شده است. الگوی تشعشعی شکل دهنده پرتو روش MJNSI بحسب زوایای مختلف در شکل (۷) نمایش داده شده است.



شکل (۷): الگوی تشعشعی روش MJNSI بحسب زوایای مختلف

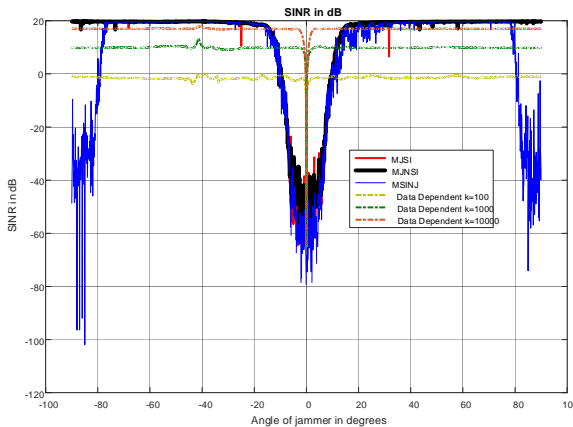
همان‌طور که در شکل می‌توان مشاهده کرد پنهانی نال خوبی را حول زاویه  $30^\circ$  درجه و اطراف آن ایجاد شده، همچنین سطح گلبرگ‌های فرعی در اطراف زاویه  $-40^\circ$  درجه هم نسبتاً پایین بوده و شرایط مطلوبی را فراهم می‌آورد. برای به دست آوردن خروجی SINR در این روش و مقایسه آن با روش‌های دیگر زاویه منبع اخلالگر را از  $-90^\circ$  درجه تا  $90^\circ$  درجه تغییر می‌دهیم و خروجی آن به صورت ذیل به دست می‌آید.



شکل (۸): خروجی روش MJNSI بحسب زوایای اخلالگر

اخلالگر بوده و در روش MJNSI نال پهن شده است، با توجه به آن به نظر می‌رسد شکل الگوی تشبعی روشن پیشنهادی MJNSI به مرتب بهتر از روش مبتنی بر داده می‌باشد.

حال سه روش پیشنهادی را با روش مبتنی بر داده از لحاظ SINR خروجی شکل دهنده پرتو، برای حالتی که انحراف معیار خطای زاویه‌ای ESM، ۲ درجه و طول بازه ۱۲ درجه‌ای حول  $\theta_0$  را به عنوان محل مهم گلبرگ‌های فرعی در نظر گرفته‌ایم و با تعداد نمونه‌های زمانی ۱۰۰، ۱۰۰۰ و ۱۰۰۰۰ مقایسه می‌نماییم.



شکل (۱۲): مقایسه SINR خروجی سه روش MJNSI، MJSI و MSINJ روش مبتنی بر داده در تعداد نمونه‌های زمانی مختلف

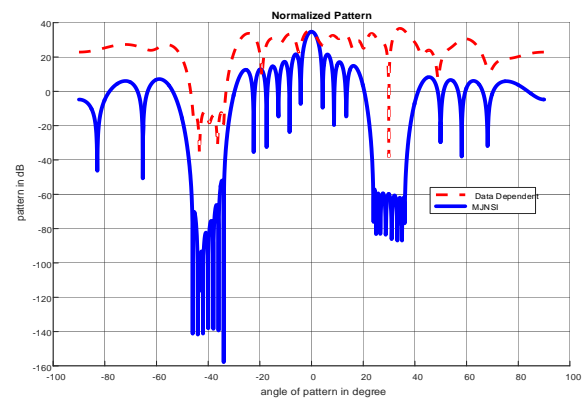
همان‌طور که در شکل (۱۲) می‌توان مشاهده کرد خروجی روش MJNSI (سیاه‌رنگ) نسبت به روش MJSI (قرمز-رنگ) و MSINJ (آبی‌رنگ) و روش مبتنی بر داده شریط بهتری را داشته است روش MSINJ به خاطر آن که نال‌انداختن در زاویه نزدیک به  $\theta_0$  یا  $-90^\circ$  کار بسیار سختی برای آرایه است در گوشها شرایط مطلوبی ندارد. روش مبتنی بر داده خیلی به تعداد نمونه‌های زمانی وابسته می‌باشد بگونه‌ای که به ازای ۱۰۰ نمونه حدود ۲۰ دسی بل حتی با افزایش تعداد نمونه‌های زمانی به ۱۰۰۰۰ هم حدود ۳ دسی بل کمتر از روش پیشنهادی است که به  $20\text{ dB}$  SNR،  $20\text{ dB}$  دست می‌یابد.

حال سه روش پیشنهادی را با روش مبتنی بر داده از لحاظ SINR خروجی شکل دهنده پرتو، برای حالتی که انحراف معیار خطای زاویه‌ای ESM، ۱ درجه و طول بازه ۶ درجه‌ای حول  $\theta_0$  را به عنوان محل مهم گلبرگ‌های فرعی در نظر گرفته‌ایم و با تعداد نمونه‌های زمانی ۱۰۰، ۱۰۰۰ و ۱۰۰۰۰ مقایسه می‌نماییم.

۴۰- درجه از محل منبع مطلوب، SINR تقریباً برابر SNR شده و وقتی موقعیت اخلالگر به موقعیت منبع مطلوب از نظر زاویه‌ای نزدیک می‌گردد SINR تا حدود  $-80\text{ dB}$  افت پیدا خواهد کرد و شرایط بدتری نسبت به روش اول پیدا می‌کند، همچنین در نقاط خیلی دورتر از منبع سیگنال به دلیل عدم پوشش آرایه آن‌تن خروجی SINR مطلوب نمی‌باشد که روندی طبیعی می‌باشد و این به خاطر آن است که نال‌انداختن در زاویه نزدیک به  $90^\circ$  یا  $-90^\circ$  کار بسیار سختی برای آرایه است.

برای مقایسه عادلانه روش‌های پیشنهادی، سه روش ارائه شده را با روش مبتنی بر داده مقایسه می‌نماییم. در شکل دهی پرتو مبتنی بر داده، با توجه به اینکه رفتار منبع اخلال و منبع مطلوب در سیگنال دریافتی قابل استخراج است می‌توان از ماتریس همبستگی به دست آمده از خود داده‌های دریافتی برای تعیین شکل دهی پرتو استفاده کرد. آماره ماتریس همبستگی  $\bar{R}_X$  روش مبتنی بر داده از رابطه (۱۲) محاسبه شده و بر اساس رابطه (۱۰) بردار وزنی آن به دست می‌آید [۱۰].

برای مقایسه در شکل (۱۱) پرتو تشکیل شده در روش MJNSI و پرتو تشکیل شده در روش مبتنی بر داده با  $100$  نمونه زمانی مطابق شرایط یکسان اشاره شده قبلی، بر حسب زوایای مختلف نشان داده شده است.



شکل (۱۱): مقایسه الگوی تشبعی روش MJNSI و روش مبتنی بر داده به ازای  $100$  نمونه زمانی

با توجه به شکل (۱۱) مشاهده می‌کنیم عمق نال در محدوده گلبرگ فرعی روش MJNSI تقریباً  $-140\text{ dB}$  بوده؛ ولی روش مبتنی بر داده  $-25\text{ dB}$  می‌باشد و عمق نال در منطقه اخلالگر روش MJNSI تقریباً  $-80\text{ dB}$  بوده؛ ولی روش مبتنی بر داده  $-40\text{ dB}$  می‌باشد و نال در روش مبتنی بر داده دقیقاً روی محل

همان‌طور که در شکل (۱۴) می‌توان مشاهده کرد با تعیین بازه ۱۸ درجه می‌توان مشاهده کرد SINR خروجی روش MJNSI روش MSINJ ، MJSI و روشن مبتنی بر داده شریط بهتری را داشته است و روش MSINJ در گوششها شرایط بدتری دارد. روش مبتنی بر داده حتی با افزایش تعداد ۱۰۰۰۰ نمونه زمانی هم به مقدار SNR، ۲۰dB دست نمی‌یابد.

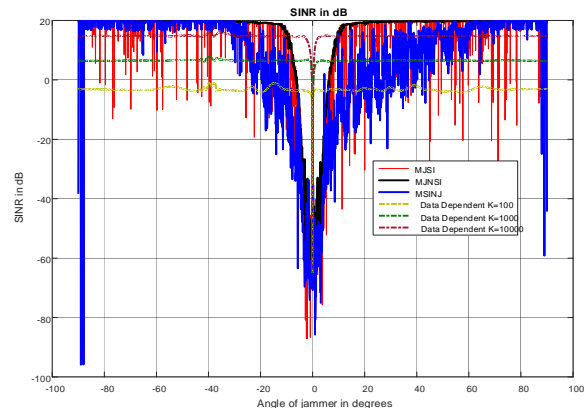
## ۵. نتیجه‌گیری

در این مقاله یک روش جهت‌دهی پرتو بر اساس مشخصات سامانه پشتیبانی الکترونیکی پیشنهاد شده است که بر اساس میزان خطای زاویه‌سنجی سامانه پشتیبانی الکترونیکی به گونه‌ای بردار شکل‌دهی پرتو را محاسبه می‌نماید که امید ریاضی تداخل دریافتی کمینه گردد. در ادامه بر اساس اطلاعاتی که از زوایای تداخل فرعی داریم سعی می‌نماییم سطح الگوی تشبعشی در یک منطقه زاویه‌ای خاص را کنترل نماییم تا سیگنال تداخل زیادی از آن سمت دریافت ننماییم. برای این موضوع سه استراتژی مختلف برای تنظیم وزن‌های شکل‌دهی پرتو پیشنهاد می‌گردد که بر اساس آنها سه مسئله بهینه‌سازی وزن‌های شکل‌دهنده پرتو تعریف و حل می‌گردد. با شبیه‌سازی‌های انجام شده و مقایسه SINR خروجی سه روش پیشنهادی با روش مبتنی بر داده می‌توان نتیجه‌گرفت که روش پیشنهادی MJNSI نسبت به روش‌های پیشنهادی MJSI ، MSINJ و روشن مبتنی بر داده در بازه‌های متفاوت شرایط بهتری را ایجاد می‌کند و تقریباً هر سه روش پیشنهادی می‌توانند جمینگ و تداخل دریافت شده از گلبرگ‌های فرعی را آنقدر کاهش دهند که به SINR در حد SNR دست یابیم. ولی روش مبتنی بر داده برای دستیابی به شرایط مطلوب نیاز به افزایش بسیار زیاد تعداد نمونه زمانی دارد که این موضوع از لحاظ حجم حافظه و پیچیدگی محاسباتی یک چالش محسوب می‌شود. همچنین می‌توان گفت وقتی در محیطی هستیم که اختلال‌گر و انعکاس‌هایی از جنس سیگنال خودی مانند پدیده چند مسیری و غیره وجود دارد، با تکنیک ارائه شده در این مقاله می‌توانیم به طور همزمان با تمامی این سیگنال‌های مزاحم مقابله نماییم و سیستم ارتباطی باکیفیت سیگنال به نویز مناسب را ارائه دهیم.

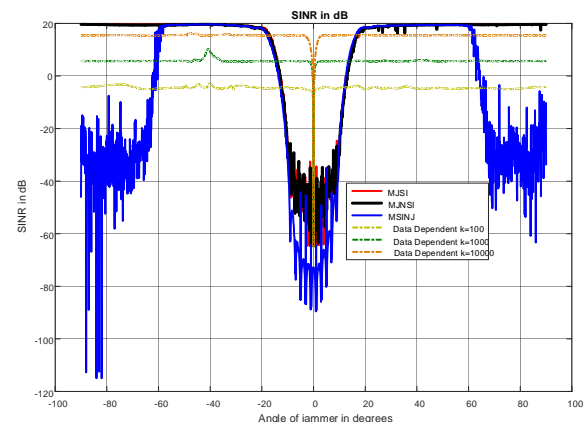
## ۶. مراجع

[1] M. Sargazi Moghaddam and kh. Sadeghi, "Beam forming and DOA estimation in smart antenna systems," Faculty and Research Institute of Electrical, sharif university, 2007. (In Persian).

[2] F. Samsami-Khodadad and F. Nazari, "A Novel and Efficient DS/CDMA Direction of Arrival Algorithm for Multipath Fading



شکل (۱۳): مقایسه SINR خروجی سه روش MJNSI، MJSI و MSINJ و روش مبتنی بر داده در تعداد نمونه‌های زمانی متفاوت همان‌طور که در شکل (۱۳) می‌توان مشاهده کرد MJNSI و MSINJ روش خروجی روشن مبتنی بر داده شریط بهتری را داشته است روش MSINJ به خاطر آن که نال‌انداختن در زاویه نزدیک به ۹۰ یا ۹۰- کار بسیار سختی برای آرایه است در گوششها شرایط مطلوبی ندارد و در نزدیکی هدف عمق نال -۸۵dB ایجاد شده است. روش مبتنی بر داده حتی با افزایش تعداد ۱۰۰۰۰ نمونه زمانی هم به ۲۰dB SNR دست نمی‌یابد. در مقایسه به شکل (۱۲)، روش مبتنی بر داده چون کارایی آن وابسته به گزارش سیستم پشتیبانی الکترونیکی و خطای آن نیست تغییر محسوسی ندارد. حال سه روش پیشنهادی را با روش مبتنی بر داده از لحاظ SINR خروجی شکل‌دهنده پرتو، را برای حالتی که انحراف معیار خطای زاویه‌ای ESM<sub>θ̂</sub> را به عنوان محل مهم گلبرگ‌های فرعی در نظر گرفته‌ایم، با تعداد نمونه‌های زمانی ۱۰۰ ، ۱۰۰۰ و ۱۰۰۰۰ مقایسه می‌نماییم.



شکل (۱۴): مقایسه SINR خروجی سه روش MJNSI، MJSI و MSINJ و روش مبتنی بر داده در تعداد نمونه‌های زمانی متفاوت

- vector mismatch and interference nonstationary,” proceeding of ChinaSIP, pp. 89-93, 2015.
- [10] W. Guo, P. Mu, Q. Yin, and W. Wang, “A New Robust Beamforming Method Against Signal Steering Vector Errors And Moving Jammers,” 2011 International Conference on Wireless Communications and Signal Processing (WCSP), pp. 1-5, 2011.
- [11] M. Ashouri and B .Mozaffari, “Robust Beamforming Based on Convex Programming with Sidelobe and Signal Direction Mismatch Control”, Amirkabir University of Technology, Tehran, IRAN, 2015.
- [12] V. Rabinovich and N. Alexandrov, “Antenna Arrays and Automotive Applications,” Springer, New York, Chapter 2, 2013.
- [13] C. Zhou, Y. Gu, W. Song, Y. Xie, and Z. Shi, “Robust Adaptive Beamforming Based on DOA Support Using Decomposed Coprime Subarrays,” proceeding of 2016 IEEE International Conference on Acoustics, Speech and Signal Processing (ICASSP), pp. 2986-2990, 2016.
- [14] Ioannis. P. Gravas, D. Zaharis, V .Yioultsis, “Adaptive Beamforming with Side Lobe Suppression by Placing Extra Radiation Pattern Nulls”, IEEE Transactions on Antennas and Propagation, 2018.
- [15] A. Aubry, “Design and Analysis of Adaptive Sidelobe Blanking Architectures”, 2020.
- Channel,” Journal of Electronical & Cyber Defence, vol. 3, no. 3, 2016. (In Persian).
- [3] J. Capon, “High-resolution frequency-wavenumber spectrum analysis,” Proceedings of the IEEE, vol. 57, no. 8, pp. 1408-1418, Aug, 1969.
- [4] J. Li and P. Stoica, “Robust Adaptive Beamforming,” Wiley, New York, 2006.
- [5] B. D. Carlson, “Covariance matrix estimation errors and diagonal loading in adaptive arrays,” Aerospace and Electronic Systems, IEEE Transactions on, vol. 24, no. 4, pp. 397–401, Jul, 1988.
- [6] O. L. Frost, “An algorithm for linearly constrained adaptive array processing,” Proceedings of the IEEE, vol. 60, no. 8, pp. 926–935, Aug. 1972.D. Carlson, “Covariance matrix estimation errors and diagonal loading in adaptive arrays,” Aerospace and Electronic Systems, IEEE Transactions on, vol. 24, no. 4, pp. 397–401, Jul, 1988.
- [7] S. Applebaum and D. Chapman, “Adaptive arrays with main beam constraints,” Antennas and Propagation, IEEE Transactions on, vol. 24, no. 5, pp. 650–662, Sep, 1976.
- [8] C. Y. Tseng and L. J. Griffiths, “A unified approach to the design of linear constraints in minimum variance adaptive Antennas and Propagation, IEEE Transactions on, beamformers,” vol. 40, no. 12, pp. 1533–1542, Dec, 1992.
- [9] J. B. Liu, X. C. Cong, W. Xie, Q. Wan, and G. Gui, “robust adaptive beamforming for noncircular signal against array steering